

# BANQUE AGRO-VÉTO 2018 MODÉLISATION

CORRECTION

## 1 Étude préliminaire de l'équation de Michaelis-Menten

### 1.1 Modélisation de la réaction chimique

1. Les concentrations  $c$  et  $p$  étant nulles initialement, on peut dire qu'au départ le mélange ne contient que du substrat et de l'enzyme.

2. En additionnant les lignes 2 et 3 du système  $(E)$  on obtient que  $\frac{de}{dt} + \frac{dc}{dt} = 0$ .

Donc la fonction  $e + c$  est constante sur  $\mathbb{R}^+$  et comme à  $t = 0$ ,  $e(0) + c(0) = e_0$ , on obtient que :

$$\forall t \in \mathbb{R}^+, \quad e(t) + c(t) = e_0.$$

De même, en utilisant les lignes 1,2 et 4 du système  $(E)$ , on obtient que  $\frac{ds}{dt} - \frac{de}{dt} + \frac{dp}{dt} = 0$ . Donc

$$\forall t \in \mathbb{R}^+, \quad s(t) - e(t) + p(t) = s(0) - e(0) + p(0) = s_0 - e_0.$$

3. L'hypothèse AEQS signifie que la fonction  $t \mapsto c(t)$  est constante sur  $[\delta; +\infty[$  donc pour tout  $t \in [\delta; +\infty[$ ,  $\frac{dc}{dt}(t) = 0$ .

4. Sous l'hypothèse AEQS, la troisième ligne du système  $(E)$  s'écrit

$$k_1 s e - (k_2 + k_{-1}) c = 0$$

Or, dans la question 1 nous avons montré que  $c(t) + e(t) = e_0$ , donc  $e(t) = e_0 - c(t)$ .

On obtient donc :

$$k_1 s(t)(e_0 - c(t)) - (k_2 + k_{-1})c(t) = 0 \Leftrightarrow c(t) = \frac{k_1 s(t)e_0}{k_2 + k_{-1} + k_1 s(t)} = \frac{s(t)e_0}{K_M + s(t)},$$

avec  $K_M = \frac{k_2 + k_{-1}}{k_1}$ .

5. On remplace alors le résultat obtenu dans la question précédente dans la quatrième ligne du système  $(E)$  et on obtient :

$$\frac{dp}{dt}(t) = k_2 c(t) = \frac{k_2 e_0 s(t)}{K_M + s(t)} = \frac{v_{max} s(t)}{K_M + s(t)},$$

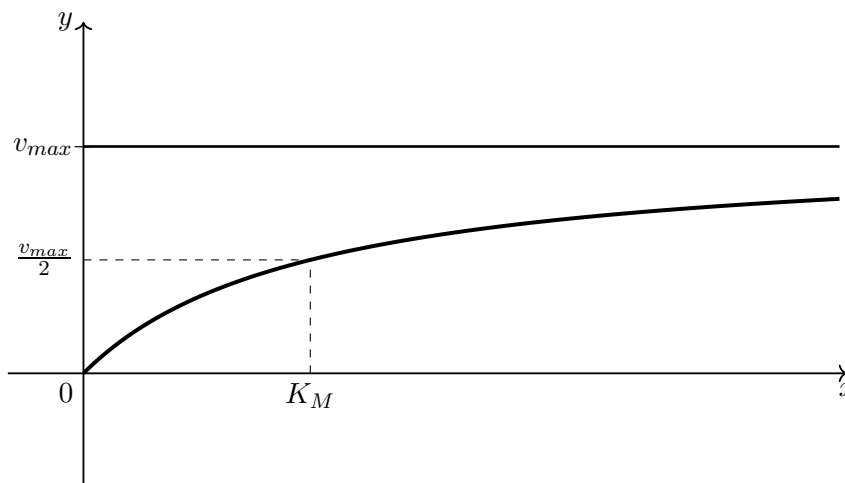
avec  $v_{max} = k_2 e_0$ .

### 1.2 Étude du modèle

6. Pour tout  $s \in \mathbb{R}^+$ ,  $f'(s) = \frac{v_{max} K_M}{(K_M + s)^2} > 0$ , donc la fonction  $f$  est croissante sur  $\mathbb{R}^+$ .

On a de plus,  $f(0) = 0$  et  $\lim_{s \rightarrow +\infty} f(s) = v_{max}$ .

7. On peut remarquer que  $f(K_M) = \frac{v_{max}}{2}$ .



### 1.3 Identification expérimentale des paramètres

9. En passant la relation donnée pour  $v_i$  à l'inverse on obtient

$$\frac{1}{v_i} = \frac{K_M + s_0}{v_{max}s_0} = \frac{K_M}{v_{max}} \times \frac{1}{s_0} + \frac{1}{v_{max}} \Leftrightarrow v_i^{-1} = \alpha s_0^{-1} + \beta,$$

avec  $\alpha = \frac{K_M}{v_{max}}$  et  $\beta = \frac{1}{v_{max}}$ .

10. On peut placer sur un graphique des points de coordonnées  $(s_0^{-1}, v_i^{-1})$  puis déterminer la droite la plus « proche » de ces points, autrement dit la droite de régression linéaire. Les coefficients de cette droite seront les coefficients  $\alpha$  et  $\beta$  de la question précédente puis on retrouve  $v_{max}$  et  $K_M$  en écrivant que  $v_{max} = \frac{1}{\beta}$  et

$$K_M = \frac{\alpha}{\beta}.$$

11. *Je vous laisse le faire...*

12. On doit trouver des valeurs de l'ordre de  $v_{max} \approx 4 \times 10^{-3}$  et  $K_M \approx 2 \times 10^{-2}$ .

## 2 Étude informatique de données expérimentales

1. a) 

```
def inv(L):  
    return [1/x for x in L]
```

  
b) 

```
def inv_ex(L):  
    Linv=[]  
    for x in L:  
        if x==0:  
            return False  
        else:  
            Linv.append(1/x)  
    return Linv
```

  
c) 

```
plt.plot(inv_ex(Ls),inv_ex(Lv),'o')  
plt.show()
```
2. a) 

```
def moyenne(X):  
    S=0  
    for x in X:  
        S+=x  
    return S/len(X)
```

  
b) 

```
def variance(X):  
    V=0  
    m=moyenne(X)  
    Y=[(x-m)**2 for x in X]  
    return moyenne(Y)
```
3. a) 

```
def cov(X,Y):  
    '''Entrée : X,Y (liste).'''  
    nx=len(X); ny=len(Y)  
    if nx!=ny or nx==0:  
        return False  
    else:  
        S=0  
        mx=moyenne(X)  
        my=moyenne(Y)  
        for k in range(nx):  
            S+=(X[k]-mx)*(Y[k]-my)  
        y=1/nx*S  
    return(y)
```

b) La fonction `cov` ne peut renvoyer que `False` ou un flottant. Donc les trois premières propositions ne sont pas possibles (liste ou chaîne de caractères impossibles et `True` impossible). Le dernier résultat est le seul possible.

```
c) i. def Coef(X,Y):
    a=cov(X,Y)/variance(X)
    b=moyenne(Y)-cov(X,Y)/variance(X)*moyenne(X)
    return([a,b])
```

```
def Trace(X,Y):
    [a,b]=Coef(X,Y)
    xmin=min(X) ; xmax=max(X)
    plt.plot(X,Y,'*')
    plt.plot([xmin,xmax],[a*xmin+b,a*xmax+b])
    plt.plot([moyenne(X)],[moyenne(Y)],'s')
    plt.grid()
    plt.show()
```

ii.  $y = ax + b$ .

iii. Droite de régression linéaire.

iv. Il faut remarquer que le point de coordonnées  $(E(X), E(Y))$  (qui apparaît sous forme de carré d'après le programme donné) doit appartenir à la droite de régression linéaire dont une portion est tracée sur notre graphique. Cela élimine donc les tracés 2 et 3 (le 3 est aussi éliminé car c'est une ligne brisée qui est tracée et pas une droite).

Le tracé 1 est tout à fait cohérent avec le programme.

```
4. a) [a,b]=Coef(inv(Ls),inv(Lv))
print('KM=',a/b)
print('vmax=',1/b)
```

b) Le coefficient de corrélation linéaire très proche de 1 nous indique que nos points sont très proches de l'alignement et donc que le tracé de la droite de régression linéaire est bien justifié.

### 3 Analyse de l'équation de Michaelis-Menten par Schnell et Mendoza

1. L'hypothèse d'AEQS se traduit par le fait que  $\frac{dc}{dt} = 0$ . Or  $\frac{de}{dt} = -\frac{dc}{dt}$ , donc  $\frac{de}{dt} = 0$ .

Comme on a aussi  $\frac{ds}{dt} - \frac{de}{dt} + \frac{dp}{dt} = 0$ , on en déduit que  $\frac{ds}{dt} = -\frac{dp}{dt}$ .

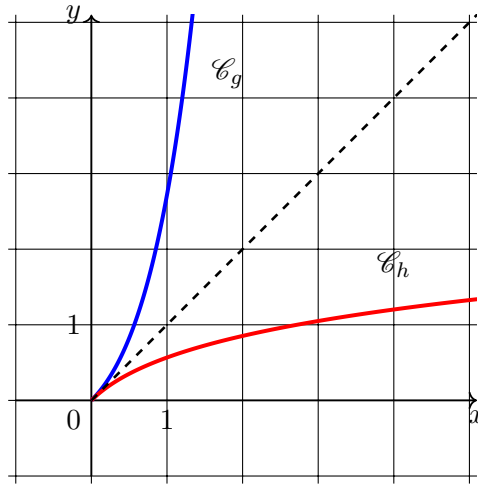
Ainsi l'équation (MM) de la partie 1.2 se réécrit  $\frac{ds}{dt}(t) = -\frac{v_{max}s(t)}{K_M + s(t)}$ .

2. a) Pour tout  $x \geq 0$ ,  $g'(x) = (x+1)e^x > 0$ , donc  $g$  est bien strictement croissante sur  $\mathbb{R}^+$ .

b) La fonction  $g$  est continue et strictement croissante sur  $\mathbb{R}^+$  donc, d'après le théorème de bijection monotone,  $g$  réalise une bijection de  $\mathbb{R}^+$  dans  $g(\mathbb{R}^+) = \mathbb{R}^+$ .

Donc  $h$  est bien définie et son domaine de définition est  $\mathbb{R}^+$ .

c) Les courbes de deux fonctions réciproques l'une de l'autre, dans un repère orthonormé, sont symétriques par rapport à la droite d'équation  $y = x$ . On trace donc la courbe représentative de  $g$  puis, par symétrie par rapport à la première bissectrice on obtient la courbe de  $h$ .



3. Pour tout  $t \geq \delta$  :

$$\begin{aligned} \frac{dy}{dt}(t) &= \frac{1}{K_M} \frac{ds}{dt}(t) \times g' \left( \frac{s(t)}{K_M} \right) \\ &= -\frac{1}{K_M} \times \frac{v_{max}s(t)}{K_M + s(t)} \times \left( \frac{s(t)}{K_M} + 1 \right) e^{\frac{s(t)}{K_M}} \\ &= -\frac{1}{K_M^2} v_{max}s(t) e^{\frac{s(t)}{K_M}} \\ &= -\frac{v_{max}}{K_M} y(t). \end{aligned}$$

$y$  est solution de l'équation différentielle  $\frac{dy}{dt} = -\frac{v_{max}}{K_M} y$  avec comme condition initiale  $y(\delta) = \frac{s_0}{K_M} e^{\frac{s_0}{K_M}}$ .

4. Les solutions de l'équation différentielle de la question précédente sont les fonctions de la forme  $t \mapsto Ae^{-\frac{v_{max}}{K_M} t}$ . Grâce à la condition initiale, on obtient que  $y(t) = \frac{s_0}{K_M} e^{\frac{s_0}{K_M} - \frac{v_{max}}{K_M}(t-\delta)}$ .

Comme  $y(t) = g \left( \frac{s(t)}{K_M} \right)$ , on sait que  $s(t) = K_M h(y(t))$ .

Donc  $s(t) = K_M h \left( \frac{s_0}{K_M} e^{\frac{s_0}{K_M} - \frac{v_{max}}{K_M}(t-\delta)} \right)$ .

5. Trouver les valeurs d'une fonction réciproque revient en fait à résoudre une équation. Ici, trouver la valeur de  $h(x)$  revient à résoudre l'équation  $g(y) = x$  d'inconnue  $y$ .

On peut donc par exemple utiliser une méthode de dichotomie ou tout autre méthode de résolution approchée d'équations.

#### 4 Validation du modèle de Michaelis-Menten

1. On sait que  $E(X) = 0$  et  $V(X) = 1$ . D'après la formule de Koenig-Huygens, on a donc

$$E(X^2) = V(X) + E(X)^2 = 1 + 0^2 = 1.$$

D'après la formule de transfert, sous réserve de convergence absolue  $E(X^4) = \int_{-\infty}^{+\infty} x^4 \times \frac{1}{\sqrt{2\pi}} e^{-\frac{x^2}{2}} dx$ .

On pose alors

$$\begin{aligned} u(x) &= x^3 & u'(x) &= 3x^2 \\ v'(x) &= \frac{x}{\sqrt{2\pi}} e^{-\frac{x^2}{2}} & v(x) &= -\frac{1}{\sqrt{2\pi}} e^{-\frac{x^2}{2}}. \end{aligned}$$

Les fonctions  $u$  et  $v$  sont de classe  $\mathcal{C}^1$  sur  $\mathbb{R}$  et le produit  $uv$  admet des limites finies (nulles) en  $-\infty$  et  $+\infty$  (grâce aux croissances comparées). Donc, par intégration par parties, sous réserve de convergence des deux intégrales en jeu on a :

$$E(X^4) = \int_{-\infty}^{+\infty} x^4 \times \frac{1}{\sqrt{2\pi}} e^{-\frac{x^2}{2}} dx = 0 - 0 + \int_{-\infty}^{+\infty} 3x^2 \times \frac{1}{\sqrt{2\pi}} e^{-\frac{x^2}{2}} dx.$$

On reconnaît alors le moment d'ordre 2 de la variable  $X$ . On sait que ce moment d'ordre 2 existe et on vient de montrer qu'il est égal à 1. Donc  $X$  admet un moment d'ordre 4 et  $E(X^4) = 3E(X^2) = 3$ .

2. a) Par linéarité de l'espérance,  $E(Z) = \sum_{i=1}^n E(X_i^2) = \sum_{i=1}^n 1 = n$ .

b) Les variables  $(X_1, \dots, X_n)$  sont indépendantes donc, d'après notre cours, les variables  $(X_1^2, \dots, X_n^2)$  sont aussi indépendantes. On a donc

$$V(Z) = \sum_{i=1}^n V(X_i^2) = nV(X^2) = n(E(X^4) - E(X^2)^2) = n(3 - 1) = 2n.$$

3. La variable  $Z$  ne peut pas prendre de valeurs négatives donc cela élimine les figures (b), (e) et (f).

Pour la loi  $\chi^2(3)$  on doit avoir une espérance de 3 et une variance de 6 et pour la loi  $\chi^2(9)$  on doit avoir une espérance de 9 et une variance de 18.

Je pense donc que la figure (a) doit représenter la densité de la loi  $\chi^2(3)$  et la figure (c) doit représenter la densité de la loi  $\chi^2(9)$ .

4. On a  $\frac{1}{\sigma}(M_i - p(t_i)) = \frac{R_i}{\sigma}$  donc  $\frac{1}{\sigma}(M_i - p(t_i))$  suit la loi normale centrée réduite et ces variables sont mutuellement indépendantes. Par définition de la loi du  $\chi^2$ ,  $Z$  suit la loi  $\chi^2(n)$ .

5.  $z = \frac{1}{(0,02)^2} \sum_{i=1}^9 (m_i - p(t_i))^2 \approx 18,40235$ .

6. On reprend la figure (c) donnée en annexe qui représente la densité d'une loi  $\chi^2(9)$ . Il suffit alors de colorier la partie située sous cette courbe entre l'abscisse  $z$  et  $+\infty$ . L'aire de cette partie coloriée représente  $P(Z > z)$ .

7. La zone coloriée dans la question précédente ne semble pas très grande donc la probabilité  $P(Z > z)$  semble faible ce qui signifie que la réalisation de  $z$  calculée à la question 5. semble peu probable sous la loi théorique  $\chi^2(9)$ .

Une cause envisageable est l'hypothèse d'AEQS. En effet, d'après les parties précédentes, elle implique les valeurs théorique données dans le modèle ( $H$ ). Si l'AEQS n'est pas vérifiée, le modèle considéré est alors faux.

## 5 Validation du modèle de Michaelis-Menten

1.  $e_0$  et  $s_0$  ont la même unité ( $\text{mol.L}^{-1}$ ), donc  $\varepsilon$  est sans unité.

Comme  $k_1 s e$  est homogène à  $\frac{ds}{dt}$ ,  $k_1 e$  est homogène à l'inverse d'un temps et donc  $t_0$  est bien homogène à un temps.

2. D'après la question 2. de la partie 1,  $p$  et  $e$  sont entièrement déterminés par la connaissance de  $s$  et  $c$ . Ainsi, on peut se contenter des équations différentielles sur  $s$  et  $c$ . En remplaçant  $e(t)$  par  $e(t) = e_0 - c(t)$  dans les lignes 2 et 4 du système ( $E$ ) on obtient le système (1).

3. On a ici  $\sigma(\tau) = \frac{s(t_0\tau)}{s_0}$ , donc

$$\begin{aligned} \frac{d\sigma}{d\tau}(\tau) &= \frac{t_0}{s_0} \frac{ds}{dt}(t_0\tau) = \frac{t_0}{s_0} \frac{ds}{dt}(t) \\ &= \frac{t_0}{s_0} (-k_1(e_0 - c(t))s(t) + k_{-1}c(t)) \\ &= -\frac{t_0 k_1 e_0 s(t)}{s_0} + \frac{t_0 k_1 c(t) s(t)}{s_0} + \frac{t_0 k_{-1} c(t)}{s_0} \\ &= -\sigma(\tau) + \sigma(\tau)\gamma(\tau) + \frac{k_{-1}}{k_1 s_0} \gamma(\tau) \\ &= -\sigma(\tau) + \left( \sigma(\tau) + \frac{k_{-1}}{k_1 s_0} \right) \gamma(\tau). \end{aligned}$$

De même,  $\varepsilon\gamma(\tau) = \frac{c(t)}{s_0} = \frac{c(t_0\tau)}{s_0}$ , donc

$$\begin{aligned}\varepsilon \frac{d\gamma}{d\tau}(\tau) &= \frac{t_0}{s_0} \frac{dc}{dt}(t_0\tau) = \frac{t_0}{s_0} \frac{dc}{dt}(t) \\ &= \frac{t_0}{s_0} [k_1(e_0 - c(t))s(t) - (k_2 + k_{-1})c(t)] \\ &= \frac{1}{s_0 k_1 e_0} [k_1(e_0 - \gamma(\tau)e_0)s_0\sigma(\tau) - (k_2 + k_{-1})\gamma(\tau)e_0] \\ &= \sigma(\tau) - \gamma(\tau)\sigma(\tau) - \frac{(k_2 + k_{-1})\gamma(\tau)}{k_1 s_0} \\ &= \sigma(\tau) - \left( \sigma(\tau) + \frac{(k_2 + k_{-1})}{k_1 s_0} \right) \gamma(\tau)\end{aligned}$$

De plus  $\sigma(0) = 1$  et  $\gamma(0) = 0$ .

4. a)  $s$  et  $c$  représentent des concentrations donc sont des quantités positives. Ainsi,  $\sigma$  et  $\gamma$  sont aussi des quantités positives. De plus  $\frac{k_{-1}}{k_1 s_0} > 0$  donc  $\left( \sigma(\tau) + \frac{k_{-1}}{k_1 s_0} \right) \gamma(\tau) \geq 0$  et ainsi,  $\frac{d\sigma}{d\tau} \geq -\sigma$ .

On peut remarquer que  $\frac{d}{d\tau}(e^\tau \sigma(\tau)) = e^\tau \left( \frac{d\sigma}{d\tau}(\tau) + \sigma(\tau) \right) \geq 0$ .

Ainsi, la fonction  $\tau \mapsto e^\tau \sigma(\tau)$  est croissante sur  $\mathbb{R}^+$ , et donc

$$e^\tau \sigma(\tau) \geq e^0 \sigma(0) \Leftrightarrow \sigma(\tau) \geq e^{-\tau}.$$

- b) D'après la question 2 de la partie 1,  $s(t) - s_0 = e(t) - e_0 - p(t) = -c(t) - p(t)$ .

$p$  et  $c$  sont des concentrations donc des valeurs positives, ainsi  $s(t) - s_0 \leq 0$  et donc  $s(t) \leq s_0$ .

Pour conclure, on a bien  $\sigma(\tau) = \frac{s(t)}{s_0} \leq 1$ .

- c) D'après la question précédente, on a déjà  $0 \leq 1 - \sigma(\tau)$ .

De plus on a aussi  $\sigma(\tau) \geq e^{-\tau} \geq e^{-\tau_{max}}$ . Car la fonction  $x \mapsto e^{-x}$  est décroissante et  $\tau \leq \tau_{max}$ .

Donc  $1 - \sigma(\tau) \leq 1 - e^{-\tau_{max}}$ .

5. Une exponentielle étant toujours positive, on a immédiatement  $\theta(\tau) \leq \frac{1}{1+B}$ .

De plus, pour tout  $u \in [0; \tau]$ ,  $\sigma(u) + B \geq e^{-u} + B$ , donc par croissance de l'intégrale

$$\int_0^\tau (\sigma(u) + B) du \geq 1 - e^{-\tau} + \tau B.$$

En multipliant par  $-\frac{1}{\varepsilon}$  (négatif donc on change l'ordre de l'inégalité), puis en appliquant la fonction exponentielle qui est croissante on obtient :

$$\exp\left(-\frac{1}{\varepsilon} \int_0^\tau (\sigma(u) + B) du\right) \leq \exp\left(-\frac{1}{\varepsilon} (1 - e^{-\tau} + \tau B)\right).$$

On multiplie alors par  $-1$  de chaque côté (nouveau changement de sens de l'inégalité), on ajoute 1 et enfin on multiplie par  $\frac{1}{1+B}$  (qui est positif) et on obtient :

$$\frac{1 - \exp\left(-\frac{1}{\varepsilon} \int_0^\tau (\sigma(u) + B) du\right)}{1+B} \geq \frac{1 - \exp\left(-\frac{1}{\varepsilon} (1 - e^{-\tau} + \tau B)\right)}{1+B},$$

ce qui donne le résultat attendu.

6. a)

$$\begin{aligned} \frac{dV}{d\tau}(\tau) &= 2 \frac{dX}{d\tau}(\tau) \times X(\tau) = 2 \left( \frac{d\gamma}{d\tau}(\tau) - \frac{d\theta}{d\tau}(\tau) \right) X(\tau) \\ &= 2 \left( \frac{1}{\varepsilon} \sigma - \frac{1}{\varepsilon} (\sigma + B) \gamma - \frac{\sigma + B}{\varepsilon} \left( \frac{1}{1+B} - \theta \right) \right) X \\ &= 2 \left( \frac{1}{\varepsilon} \sigma - \frac{\sigma + B}{\varepsilon(1+B)} - \frac{\sigma + B}{\varepsilon} (\gamma - \theta) \right) X \\ &= -\frac{2}{\varepsilon} (\sigma + B) X^2 + \frac{2(\sigma - 1)B}{\varepsilon(1+B)} X. \end{aligned}$$

b) *Idée : utiliser le fait que  $(a - b)^2 \geq 0$  ce qui donne  $a^2 - 2ab + b^2 \geq 0$  et donc  $-a^2 + 2ab \leq b^2$ .*

*Autre méthode : un trinôme du type  $aX^2 + bX + c$  lorsque  $a < 0$  atteint son maximum en  $\frac{-b}{2a}$ .*

On sait que  $\left( \sqrt{\sigma + B} X - \frac{(\sigma - 1)B}{2(1+B)\sqrt{\sigma + B}} \right)^2 \geq 0$ . En développant on obtient :

$$(\sigma + B)X^2 - \frac{(\sigma - 1)B}{(1+B)}X + \frac{(\sigma - 1)^2 B^2}{4(1+B)^2(\sigma + B)} \geq 0 \Leftrightarrow -(\sigma + B)X^2 + \frac{(\sigma - 1)B}{(1+B)}X \leq \frac{(\sigma - 1)^2 B^2}{4(1+B)^2(\sigma + B)}.$$

On en déduit donc que

$$\frac{dV}{d\tau} \leq \frac{2}{\varepsilon} \times \frac{(\sigma - 1)^2 B^2}{4(1+B)^2(\sigma + B)} = \frac{(\sigma - 1)^2 B^2}{2\varepsilon(1+B)^2(\sigma + B)}.$$

c) *Idée : intégrer l'inégalité précédente entre 0 et  $\tau$ .*

$$\int_0^\tau \frac{dV}{d\tau}(u) du \leq \int_0^\tau \left( \frac{(\sigma(u) - 1)^2 B^2}{2\varepsilon(1+B)^2(\sigma(u) + B)} \right) du.$$

D'une part,  $\int_0^\tau \frac{dV}{d\tau}(u) du = V(\tau) - V(0) = V(\tau) - (\gamma(0) - \theta(0))^2 = V(\tau)$ .

Pour l'autre partie de l'inégalité on utilise le fait que, pour tout  $u \in [0; \tau]$ ,  $(\sigma(u) - 1)^2 \leq (1 - e^{-\tau})^2$  (question 4. c) et le fait que  $\frac{1}{\sigma + B} \leq \frac{1}{B}$  car  $\sigma > 0$ .

On obtient donc

$$V(\tau) \leq \int_0^\tau \left( \frac{(1 - e^{-\tau})^2 B^2}{2\varepsilon(1+B)^2 B} \right) du = \frac{(1 - e^{-\tau})^2 B}{2\varepsilon(1+B)^2} \tau.$$

7. a) La fonction  $h : \delta \mapsto 1 - e^{-\delta} + B\delta$  est continue et strictement croissante sur  $]0; +\infty[$ . Donc, d'après le théorème de bijection monotone,  $h$  réalise une bijection de  $]0; +\infty[$  dans  $h(]0; +\infty[) = ]0; +\infty[$ .

Or  $\sqrt{\varepsilon} \in ]0; +\infty[$  donc  $\sqrt{\varepsilon}$  admet un unique antécédent par la fonction  $h$ , c'est-à-dire l'équation  $1 - e^{-\delta} + B\delta = \sqrt{\varepsilon}$  admet une unique solution notée  $\delta^*(\varepsilon)$ .

b) Une faible concentration d'enzyme par rapport au substrat signifie que  $e_0$  est très petit devant  $s_0$  et donc que  $\varepsilon$  est très proche de 0.

c) On sait que  $\delta^*(\varepsilon) = h^{-1}(\sqrt{\varepsilon})$ . De plus la fonction  $h^{-1}$  vérifie  $\lim_{x \rightarrow 0} h^{-1}(x) = 0$  car  $\lim_{u \rightarrow 0} h(u) = 0$ . Donc, par composition de limites,  $\lim_{\varepsilon} \delta^*(\varepsilon) = 0$ .

8. D'après l'inégalité triangulaire :

$$\left| \frac{1}{1+B} - \gamma(\delta^*(\varepsilon)) \right| \leq \left| \frac{1}{1+B} - \theta(\delta^*(\varepsilon)) \right| + |\theta(\delta^*(\varepsilon)) - \gamma(\delta^*(\varepsilon))|.$$

Or  $V(\delta^*(\varepsilon)) = (\theta(\delta^*(\varepsilon)) - \gamma(\delta^*(\varepsilon)))^2$ , donc  $|\theta(\delta^*(\varepsilon)) - \gamma(\delta^*(\varepsilon))| = \sqrt{V(\delta^*(\varepsilon))}$ .

On a donc bien montré que  $\left| \frac{1}{1+B} - \gamma(\delta^*(\varepsilon)) \right| \leq \left| \frac{1}{1+B} - \theta(\delta^*(\varepsilon)) \right| + \sqrt{V(\delta^*(\varepsilon))}$ .

D'après la question 5 de cette partie,  $\left| \frac{1}{1+B} - \theta(\delta^*(\varepsilon)) \right| \leq \frac{\exp\left(-\frac{1}{\varepsilon}(1 - e^{-\delta^*(\varepsilon)} + \delta^*(\varepsilon)B)\right)}{1+B} = \frac{\exp\left(-\frac{1}{\varepsilon}\sqrt{\varepsilon}\right)}{1+B}$ .

D'après la question 6. c) de cette partie,  $\sqrt{V(\delta^*(\varepsilon))} \leq \frac{(1 - e^{-\delta^*(\varepsilon)})\sqrt{B}}{\sqrt{2\varepsilon^{1/2}(1+B)}} \sqrt{\delta^*(\varepsilon)}$ .

Or  $1 - e^{-\delta^*(\varepsilon)} = \sqrt{\varepsilon} - B\delta^*(\varepsilon) \leq \sqrt{\varepsilon}$  et  $B\delta^*(\varepsilon) = \sqrt{\varepsilon} - (1 - e^{-\delta^*(\varepsilon)}) \leq \varepsilon$  (car  $1 - e^{-\delta^*(\varepsilon)} \geq 0$ ) donc on obtient

$$\sqrt{V(\delta^*(\varepsilon))} \leq \frac{\sqrt{\varepsilon}}{\sqrt{2\varepsilon^{1/2}(1+B)}} \sqrt{\sqrt{\varepsilon}}.$$

Pour conclure, on a bien

$$\left| \frac{1}{1+B} - \gamma(\delta^*(\varepsilon)) \right| \leq \frac{\exp\left(-\frac{1}{\sqrt{\varepsilon}}\right)}{1+B} + \frac{\varepsilon^{1/4}}{\sqrt{2}(1+B)}.$$

9. D'après la question 4. c) de cette partie, pour tout  $\tau \in [0; \delta^*(\varepsilon)]$ ,  $1 - \sigma(\tau) \leq 1 - e^{-\delta^*(\varepsilon)}$ .

Or  $1 - e^{-\delta^*(\varepsilon)} = \sqrt{\varepsilon} - B\delta^*(\varepsilon) \leq \sqrt{\varepsilon}$ .

Donc pour tout  $\tau \in [0; \delta^*(\varepsilon)]$ ,  $1 - \sigma(\tau) \leq \sqrt{\varepsilon}$ .

10. D'après les questions précédentes, lorsque  $\varepsilon$  est petit,  $\delta^*(\varepsilon)$  est proche de 0 et donc lorsque  $\tau$  est très proche de 0,  $\sigma$  est très proche de 1. Cela signifie que la concentration en substrat n'a quasiment pas changé.

De plus  $\gamma(\delta^*(\varepsilon))$  est très proche de  $\frac{1}{1+B}$ , ce qui donne

$$c(t) = \frac{e_0}{1+B} = \frac{k_1 s_0 e_0}{k_1 s_0 + k_2 + k_{-1}} = \frac{s_0 e_0}{K_M + s_0},$$

qui est la solution de  $\frac{dc}{dt} = 0$ .  $c$  a atteint sa position d'équilibre.

On voit donc ici le comportement approché par l'hypothèse d'AEQS : au bout d'un temps très court, la concentration en substrat n'a presque pas changé mais la concentration en complexe est arrivée à l'équilibre.